

Cu-ZSM-5 촉매 제조 및 제조된 촉매에서 구리이온의 거동에 관한 연구

이승재, 박달령, 박형상
서강대학교 대학원 화학공학과

A study on the synthesis of Cu-ZSM-5 and behavior of copper ions in Cu-ZSM-5

Seung-Jae Lee, Dal-Ryung Park, Hyung-Sang Park
Dept. of Chem. Eng., College of Eng., Sogang University

서론

ZSM-5는 실리카 함량이 큰 제올라이트로서 메탄올에서 가솔린을 선택적으로 합성하는 MTG 공정에 사용되며 여러 석유화학 반응에 특이한 촉매 작용을 보유한 제올라이트로써 관심이 집중되고 있다. 특히 Cu-ZSM-5는 NO_x분해에 높은 활성을 가지는 촉매로 알려져 있다. ZSM-5의 합성에 사용되는 유기주형물질은 고가이고 독성이 있기 때문에 유기주형물질을 사용하지 않고 ZSM-5를 합성하고자 하는 노력이 이루어지고 있다. 또한 유기주형물질 없이 제조된 ZSM-5는 결함이 없으며 촉매 전체에 Al이 고르게 분포되어 있다고 보고되어 있다. 본 연구에서는 여러 합성 조건들을 변화시키며 유기주형물질 없이 ZSM-5를 합성하기 위한 조건들을 찾았으며, Cu-ZSM-5에서 NO 분해 반응시 촉매작용을 이해하기 위해 NO분해의 활성성분으로 알려져 있는 구리이온의 거동을 TPD, IR, EPR, DRS등의 분석을 통하여 연구하였다.

실험 방법

1. 촉매 제조 조성 변화에 따른 ZSM-5의 합성 조건을 찾기위해서 Dai 등⁽¹⁾의 방법에 따라 반응모액의 조성을 11.2Na₂O - 1.0Al₂O₃ - a SiO₂ - 3207.4H₂O와 같이 하여 190℃에서 교반없이 결정화시켰다. 또한 seed와 아세톤의 영향을 고찰하기 위해 반응모액의 조성을 15Na₂O - 1.0Al₂O₃ - 100SiO₂ - 4600H₂O - b Acetone로 고정시키고, Seed는 DuPont사와 PQ사에서 구입한 ZSM-5 결정을 사용하여 실험하였다.

2. 촉매의 특성 분석 구리이온 교환 정도와 실리카/알루미나 비는 XRF와 ICP-AES를 사용하여 분석하였다. ZSM-5의 결정화도는 XRD로, 결정의 크기 및 분포는 SEM 및 입도분석기로 분석하였다. 또한 암모니아 TPD로 산점분포와 산량을 측정하였다.

3. DRS, IR, EPR를 이용한 구리의 상태 분석

DRS 분석 UV-VIS-NIR spectrometer를 사용하여, ZSM-5에 이온교환된 Cu²⁺이온의 배위상태를 알아보기 위해 He기류하에서 CO, O₂ 등의 가스로 전처리한 후 DRS 스펙트럼을 측정하였다.

IR 분석 Cu-ZSM-5 촉매를 25-500℃로 승온하며 O₂의 기류 하에서 소성한 후, 500℃에서 H₂를 흘리며, 환원처리 하였다. 그리고 온도를 상온으로 낮춘 후 원하는 온도에서 CO를 흡착시키고 IR 스펙트럼을 측정하였다.

EPR 분석 제올라이트를 수정판에 채우고 25, 100, 300℃에서 10⁻⁵Torr로 진공을 유지하며 배기하고, CO 또는 NO를 흡착시킨 후 25℃와 -196℃에서 각각 EPR 스펙트럼을 측정하였다.

EPR 분석

이온교환 후 전처리 과정을 거치지 않고 상온에서 측정한 Cu-ZSM-5의 EPR 스펙트럼을 (a)에 나타내었는데 Cu^{2+} 의 미세구조가 나타나지 않고, 적어도 유동성이 있는 2개 이상의 Cu^{2+} 종이 겹쳐져서 나타난 것으로 생각되는 하나의 넓은 스펙트럼이 관찰되었다. 이 시료를 -196°C 에서 측정하였을 경우 수화된 Cu^{2+} 의 전형적인 미세구조를 나타내는 스펙트럼이 관찰되었다. 이는 6개의 물분자와 8면체로 배위한 $[\text{Cu}(\text{H}_2\text{O})_6]$ 로 알려져 있다. $[\text{Cu}(\text{H}_2\text{O})_6]$ 는 지름이 약 0.74nm로 ZSM-5의 세공보다 크기 때문에, 제올라이트에 존재하는 직선세공과 z자형의 세공이 교차하는 곳에 위치한다고 보고되어 있다⁽⁷⁾. (c)는 상온에서 NO를 흡착시키고 25°C 에서 24시간 동안 배기한 후 측정한 스펙트럼으로, (b)에서 나타난 Cu^{2+} 의 미세구조가 사라지고 잘 분리되지 않은 몇개의 스펙트럼이 나타났다. Cu-ZSM-5에 이온교환된 Cu^{2+} 이온은 500°C 에서 전처리할 경우 약 40%정도 Cu^{+} 로 환원되는 것으로 보고되어 있다⁽⁸⁾. 따라서 전처리 후에도 존재하는 Cu^{2+} 에 NO가 흡착하여 $[\text{Cu}^{+}\text{-NO}]$ 종이 형성되기 때문에 Cu^{2+} 종이 사라지게 되어 Cu^{2+} 미세 구조가 나타나지 않는 (c)의 경우와 같은 스펙트럼이 얻어졌다. 100°C 에서 24시간 동안 배기했을 경우의 스펙트럼을 (d)에 나타내었는데, $g_{\parallel}=2.2289$, $A_{\parallel}=168.98$ 의 새로운 종이 생성되었다. 이 경우 25°C 나 -196°C 에서 각각 측정했을 경우 거의 비슷한 스펙트럼을 나타내었는데, 이는 배기 후 Cu^{2+} 에 배위된 수분이 탈착하면서 배위되지 않은 Cu^{2+} 가 주위의 격자 산소와 배위하여 고정되기 때문으로 사료된다. 한편 300°C 에서 배기한 (e)의 경우 두개의 미세구조가 나타났는데 이는 ZSM-5의 구리이온에 배위된 H_2O 가 지속적으로 탈착하며 두가지 형태의 구리이온이 배위되어 있는 성분들로 인해 나타나는 현상으로 사료된다.

결론

1. 여러 조업 변수중 유기 주형물질을 첨가하지 않고 결정이 좋은 ZSM-5 촉매를 제조하는데 대한 조업변수를 찾았으며 seed를 사용하여 빠른 시간 안에 ZSM-5 결정을 얻을 수 있었다.

2. EPR 실험결과 배기온도를 25°C 에서 300°C 로 온도가 올라가면서 구리에 배위된 수분이 탈착하며 구리이온의 배위상태가 변화하는 것을 관찰할 수 있었고, Cu^{2+} 에 NO가 흡착하여 $\text{Cu}^{+}\text{-NO}^{+}$ 니트로실 착물을 형성함을 알 수 있었다. 또한 DRS 실험 결과 Cu-ZSM-5에서 구리이온은 산소 흡착시 삼배위 형태에서 사면체 배위형태로 배위됨을 알 수 있었다.

참고 문헌

- Feng-Yuen Dai, Minoru Suzuki, Hiroshi Takahashi, and Yasukazu Saito, "Zeolite Synthesis", Mario L. Occelli, and Harry E. Robson, eds., 244, American Chemical Society, Washington. DC, 1989.
- Narita, E., and Okabe, T. *Chem. Lett.*, 1055 (1984).
- Narita, E., Sato, K., Yatabe, N., and Okabe, T.: *Ind. Eng. Chem. Prod. Res. Dev.*, 24, 507(1985).
- Sárkány, J., d'ltrei, J.L. and Sachtler, W.M.H. *Catal. Lett.* 16, 241, (1992)
- Storm, D.H., Klier, ACS Symp. Ser., 40, 108 (1977)
- 寺岡 靖剛, 多井 智壽, 古川 博志, 鹿川 修一, 朝倉 清高, 岩澤 康裕 : 觸媒, 32, 426 (1990).
- Anderson, M.W. and Larry, K.: *J. Phys. Chem.* 91, 15 4174 (1987)
- Iwamoto, M., Yahiro, H., Mizuno, M., Zhang, W. X., Mine, Y., Furukawa, H. and Kagawa, S. : *J. Phys. Chem.*, 96, 9360 (1992)

$\text{Cu}^+ \text{-CO}$ 촉매에 의한 IR band 크기가 증가하였다. Sachtle 등은⁽⁴⁾ Cu-ZSM-5를 고온에서 H_2 로 전처리시 Cu° 와 proton이 생성되며, ZSM-5에 생성된 proton에 의해 Cu° 가 산화되어 Cu^{2+} 가 생성되며, 이는 200°C 이상의 온도에서 CO의 첨가에 의해 촉진된다고 보고하였다.

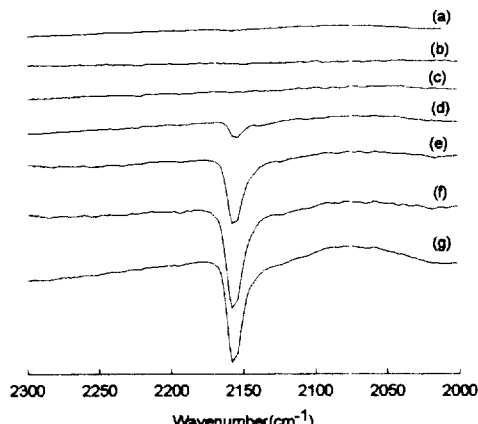


Fig. 2. IR spectra of Cu-ZSM-5 (a) O_2 calcination (b) H_2 reduction (c) CO adsorption at 20°C for 10min (d) CO adsorption at 100°C for 10min (e) CO adsorption at 300°C for 10min (f) CO adsorption at 500°C for 10min (g) CO adsorption at 500°C for 2hr

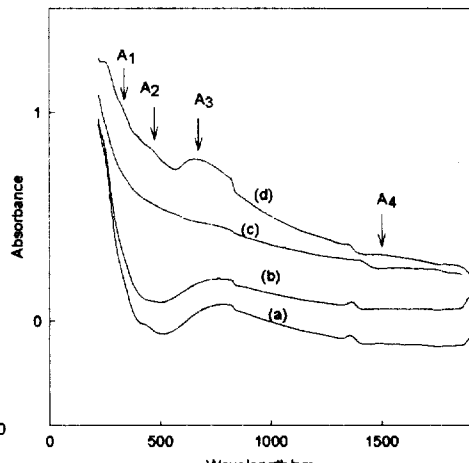


Fig. 3. DRS spectra of (a) Cu-ZSM-5-145, (b) Cu-ZSM-5-145 adsorbed with CO at 500°C for 2hr, (c) Cu-ZSM-5-145 pretreated at 500°C in He for 24hr, (d) Cu-ZSM-5 adsorbed O_2 at 25°C for 30min.

DRS 분석

100°C에서 건조과정을 거친 Cu-ZSM-5의 DRS 실험 결과를 Fig. 3의 (a)에 나타내었는데, 삼배위(trigonal, C_{3v})자리에 있는 Cu^{2+} 의 d-d전이에 기인한다고 알려져 있는⁽⁵⁾ A_3 (600-900nm)의 흡수가 나타났다. 이 측면을 500°C에서 CO를 흡착시킨 (b)에서는 (a)의 경우와 비교해 보면 A_3 의 흡수는 약간 줄어든 반면 그다지 큰 변화는 나타나지 않았다. 500°C에서 25°C로 온도를 낮추면서 O_2 를 2시간 동안 흡착한 (d)의 경우 1500-2000nm에서 Cu^{2+} 의 사면체 배위의 d-d 전이로 인한 흡수 밴드로 알려져 있는⁽⁶⁾ A_4 의 흡수가 나타났다. 따라서 구리이온과 구리이온이 산소를 통하여 배위하여 삼배위가 사면체 배위로 전환되는 것을 유추할 수 있다.

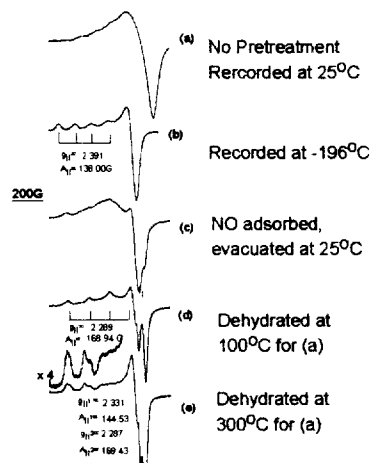


Fig. 4. EPR Spectra of Cu-ZSM-5

의미하고 괄호의 x는 불산처리시 용액의 노르말농도를 나타내고 있다.

변형된 모더나이트의 총 Si/Al비는 XRF로, 표면의 Si/Al비는 ESCA로 분석하였고 이들의 단위 격자 상수는 XRD로 구하였다. 물리적인 특성인 비표면적, 세공 용적과 중세공경($1.7\text{nm} < \text{세공 크기} < 20\text{nm}$) 분포를 질소 흡/탈착으로 구하였다. 산 특성은 피리딘-FT-IR로 1540cm^{-1} 의 Bronsted산점 그리고 1450cm^{-1} 의 Lewis산점의 변화를 탈착 온도 150°C , 250°C 그리고 350°C 로 올리면서 측정하였다.

결과 및 고찰

성분과 단위 격자 상수

Table 1은 전처리에 의해 변형된 모더나이트의 총 Si/Al비와 표면의 Si/Al비 그리고 단위 격자 상수인 a, b, c를 나타냈다. 나트륨형 모더나이트를 기준하여 스팀처리한 HMs는 25%알루미늄이 제거되어 Si/Al비가 5정도였다. 이를 불산 또는 불산/스팀 처리한 경우는 실리콘이 제거되지 않는다는 가정하에서 75-80% 정도의 알루미늄이 제거되어 Si/Al비가 16정도였다. HMs를 불산처리한 경우는 표면이 전체보다 알루미늄 함량이 약간 많은 것으로 표면의 실리콘이 제거되어 내부보다는 표면의 알루미늄 함량이 많고 이들 알루미늄은 무정형 상태로 새로운 Lewis산점을[1] 이룬다. HMs를 불산처리후 스팀처리한 경우는 불산만 처리한 경우보다 표면의 알루미늄 함량이 많고 총 Si/Al비는 유사한 것으로 스팀처리는 주로 구조알루미늄이 내부에서 외부로 이동되고 제거된 알루미늄의 위치에 실리콘이 대치되는 반응 메카니즘을 이룬다[5].

HMs를 불산 또는 불산처리후 스팀처리한 경우인 HMf(2.5)와 HMfs(2.5)는 탈 알루미늄 뿐만아니라 일부의 실리콘이 제거되어 c에 비해 a, b의 변화가 커졌다. 단위 격자 상수의 감소는 입자의 수축을 의미한 것으로 Meyer등[5]의 연구에서는 단위 격자 상수인 a가 알루미늄의 함량과 비례관계를 나타내고 있다. 즉 탈 알루미늄이 되어 알루미늄의 함량이 적으면 a가 감소하는 상호 비례 관계가 성립하였다. HMf(2.5)와 HMfs(2.5)의 경우도 HMs를 기준으로 알루미늄의 함량이 75-80%가 제거되어 상대적으로 단위 격자 상수가 감소한 것으로 Meyer의 연구와 일치하고 있다. 탈알루미늄에 의한 입자의 수축은 구조의 재배치로 산 역활을 하는 구조알루미늄에 영향을 주어 산 성질을 변형시킨다.

Table 1. Si/Al atomic ratio and unit cell constants of the mordenites treated by steaming(HMs), steaming/HF(HMf) and steaming/HF/Steaming (HMfs).

Catalysts	Si/Al atomic ratio		a,	b,	c
	total	surface			
NaM	3.74		18.11	20.53	7.53
HMs	5.04	5.13	18.17	20.38	7.50
HMf(2.5)	15.64	13.97	18.06	20.26	7.46
HMfs(2.5)	16.11	12.29	18.06	20.28	7.47

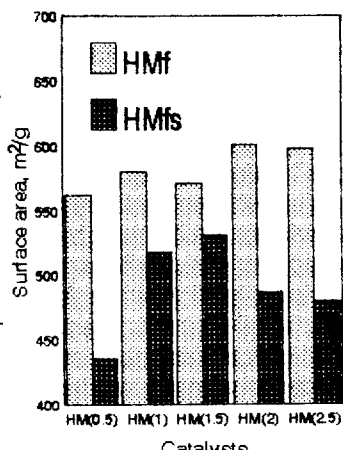


Fig. 1 BET surface area of HMf and HMfs as a function of HF concentration.